

# 河川水質管理のための環境評価 —特に生物データの有効利用—

(株) 日本水道コンサルタント 正員 酒井 藤  
正員 高橋邦夫

## 1. はじめに

河川における水質環境を評価するとき、河川に生息する生物を含めた環境を構成する種々の要素に対する影響を考慮することは不可欠である。筆者らは二つに立場から既報において理化学指標と生物学的指標の関連を総合的に把握することを目的に、生物学的水質階級に対する理化学指標の分類・整理という形で考察した。しかし既報においては、1) 理化学指標と生物学的水質階級の並列的対比に終っていること、2) 流況、底質、感覚尺度といった定性的特性の扱いが不十分であること、3) 河川水質管理への方向性が明確化されていないなどの問題点を残している。

冒頭の立場を具体化するには、制御性のある河川の汚濁度指標の構築を目的として河川水質環境を構成する要因がある。本報は、その第一段階として、生物学的調査結果、周辺環境、感覚尺度等の定性的特性を数量化理論により分析した結果に基づき考察したものである。ここでは、生物学的水質階級を汚濁度を表す外的基準として扱わず、河川環境を表現する情報として図-1に示して4つの要因を有機的に結合させる方向で、考えられるいくつかの総合汚濁度指標の抽出を行った。さらに抽出した指標の内部構造の把握、汚濁度指標に対する要因による構造分析、汚濁度指標間の相関分析を通して総合指標相互の特性的整理を行い、これらをもとに河川汚濁制御への方向付けを提示する。総合汚濁度指標の抽出ならびに考察のフローを図-2に示す。

本報の構成は、2で分析対象資料の概要を述べ、3において総合汚濁度指標の抽出とその考察を行う。4で抽出した指標を河川汚濁度制御へ生かすための方向付けを提示し、5では結果を総括し今後の課題について整理する。

## 2. 分析対象資料について

分析に使用した資料は、X県内の河川水質調査結果に基づいており、サンプリング数は67地点である。分析に用いた理化学指標、生物種周辺物理状況、感覚尺度をおびてこれらのかテゴリー分割を表-1に示す。生物種の選択は主に出現頻度によつてあり、DO、BOD、ESのカテゴリー分割は環境基準類似に基づいた。またKolkwitz-Murssonの体系に基づく生物学的水質階級は、富营养性(OS), β-

表-1 アイヘム調査

生物種		分類	種	分類
Zoogloea sp.	3	Vorticella sp.	2	
微 生 物	2 (7)	1トミズク ミズムシ	2	
植物性浮遊生物	3	ビメモアラガイ*	2	
緑色虫類	2	ヒリ類	2	
金毛虫類	2	イオマガラウカウ	2	
蝶虫類	2	zooplankton	3	
Diclidularia sp.	2	Boettcher sp.	2	
Didemnum sp.	2	Eudistoma sp.	3	
Gymnophora sp.	2	Eudistomus sp.*	3	
Melosira sp.	2	エリナガラウカウ	3	
藻類	Cymbella sp.*	2	ハナガラウカウ	2
鞭毛虫	Nanina sp.*	2	ペラシコロビニア*	2
付着生物	Pteropoda dredens	2	Hydrozoa sp.	3
着生	Ulothrix sp.*	2	蜻蜓目	3
	Stigeoclonium sp.*	2	Spanocladus sp.	3
	Cylindrospermum contortum	2	ゼンソウ群集	3

周辺物理状況		感覚尺度		理化学指標	
水深	カテゴリー	1	10.2	DO	17.5
	m/m	2	10~20	m/m	27.8~50
		3	20~30	m/m	36.0~28
		4	>30		3.225
底	レキ	1	海	BOD	1/10.0
		2	黒	m/m	2/20~40
	砂	1	海	3	40~60
		2	黒	4	60~80
	泥	1	海	5	80~100
		2	黒	6	100~120
水温	1	26.7		7	120~140
	2	28.0~29			2/20~40
	3	30~38			3/40~60
	4	30~50			4/60~80
	5	50~80			5/80~100
	6	80~120			6/100~120
生物	1	無色		CO <sub>2</sub>	1/20.0
	2	黄		m/m	2/20~40
	3	灰		3	40~60
	4	褐色		4	60~80
	5	茶		5	80~100
	6	水草		6	100~120
	7	10.0		7	120~140
		m/m			8/20~40
					9/40~60
					10/60~80
					11/80~100
					12/100~120

\*: 各総合指標にて算出においては用ひられないアイテム。  
生物種についてはランク数2より前の有無、ランク数3以上は存在しない、非表示。  
数量化理論工類の分布例では、BOD, CODの6.7カテゴリーを一括して扱う。

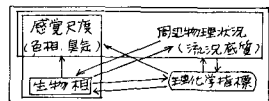


図-1 河川環境要因間の関係

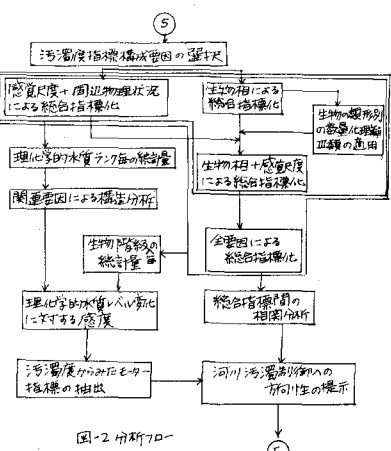


図-2 分析フロー

中腐水性( $\beta-m$ )、 $\alpha$ -中腐水性( $\alpha-m$ )、強腐水性( $\gamma$ )であり、分析対象67地点の内訳は、それぞれ21, 17, 17, 12地点である。

### 3. 総合汚濁度指標の抽出と考察

#### 3-1. 汚濁度指標について

河川環境を評価しようとするとき、その目的により、環境要素に対する認識が異り、それに従って評価対象となる要因の構成にも違いが生じてくるものと考えられる。しかし現状では理用目的の多様性についには、充分に考慮することばなしに、水域の汚濁度進行を議論しているケースが多い。しかも理化学指標あるいは生物学的調査に基づく一面的評価にとどまっている場合が多い。

本報のようないくつかの要因を総合化してひとつの大指標を求めるうとする場合に、その目的を明確化することが必要である。ここで清流と呼ばれる水質環境とは如何なるものであるのか、その定量化を意識して要因の選択を行っている。本章では数量化理論Ⅲ類を用い先述の諸要因の中からいくつかの特性(アイテム)をヒリヤゲ汚濁度を表現する軸の抽出によって総合汚濁度指標を作成を行っている。分析ケース、個々のケースの目的を表-2にまとめると。

#### 3-2. 総合汚濁度指標の算出

表-2に示した4ケースの分析結果として表-3

にカテゴリー数量の大きなもの(その軸に対する寄与の大きいカテゴリー)を示し、

図-3に生物学的水質階級ごとのサンプル数量の分布を示す。以下各総合汚濁度指標の構造を述べる。

I…周辺物理状況のほかでは、セキヒコンクリートおよび污水の流入有無が汚濁方向を代表しており、瀬戸レキが清浄方向を代表している。この分析

では、瀬戸レキの違いは明瞭に得られていないが、これは瀬戸レキが分割可能な水域では汚濁のすこしでないことを示すものであろう。感覚尺度として、汚濁方向にカテゴリー数量の大きなものは、下水臭、し尿臭、かゝ色である。

II…その存在を示すカテゴリー数量が汚濁方向に大きな生物種は、汚濁性種、清浄方向に大きな生物種は非汚濁性種とみなすことができる。表-3の結果は津田による汚水生物系列とよく一致している。この他の種については、中腐水性域に生息する種であるかの判断は、汚濁度を示す軸以外の軸についても検討する必要がある。ここでは、寄与率の大きな軸を選び、各カテゴリーの原点からの距離(近い程よりされたカテゴリーとみなせる)が小さい順から *Ulothrix*, ミズムシ, *Stigeoclonium* sp., *Cymbella* sp. などがあげられる。

III…生物種については、IIと同様な結果であり、清浄方向には水生昆虫類の存在、汚濁方向では *Zoogloea* sp. および底生動物の存在の寄与が大きい。感覚尺度では、無色無臭とし尿臭、下水臭の指標IIIへの寄与が大である。

表-2 分析ケース

指標	アイテム	目的	数量化理論Ⅲ類の問題
I	周辺物理状況指標	人間の感覚で得られる指標の抽出	理化学指標、生物指標
II	生物種	存在する生物種が得られ指標の抽出	理化学指標、周辺物理状況
III	生物種+感覚尺度	人間の意識で近い要因で構成する指標抽出	同上
IV	全要因	N個の要因の寄与の大きさを算出	—

表-3 各総合汚濁度指標に寄与の大きな項目

指標	汚濁方向			清浄方向		
	周辺物理状況	感覚尺度	周辺物理状況	感覚尺度	微生物	生物
I	清流	下水臭、し尿臭、かゝ色	瀬戸レキ	無色、水草便、透明度	—	—
II	微生物 藻類 Zoogloea sp.	瀬戸レキ Oscillatoria sp. Meropsidae sp.	肉眼生物 下水臭 し尿臭	微生物 Diatoma sp. Gomphosphaera sp.	藻類 Diatoma sp. Eperus sp.	肉眼生物 Pithophora Oedogonia Hydrostachys sp.
III	微生物 藻類 Zoogloea sp.	瀬戸レキ Oscillatoria sp. Meropsidae sp.	肉眼生物 下水臭 し尿臭	微生物 Diatoma sp. Gomphosphaera sp.	藻類 Diatoma sp. Eperus sp.	感覚 無色 無臭
IV	理化学指標 COD-7, BOD-7 DO-3.4, SS-4	生物 無毛類、無皮類 Ulothrix, M. sp.	周辺状況、感覚 下水臭、し尿臭	理化学指標 全硬度-1, EC-1 COD-1	生物 Ulothrix, M. sp.	周辺状況、感覚 無色

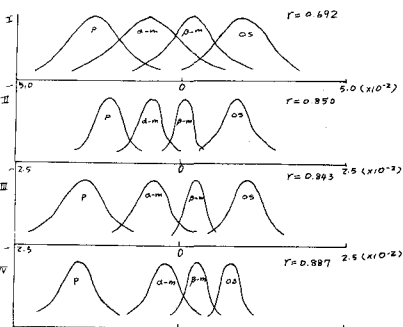


図-3 生物学的水質を示す指標工への分布  
(平均寄与率をもとに指標偏差より標準的な表示)

IV…清浄方向は、全硬度、電気伝導度、COD、CL<sup>-</sup>が各レベルにあること、ヒドロカウントビケラ、Eponus sp.の存在で示され、汚濁方向は、有機性汚濁を示す理化学指標が高レベルにあること、低溶存酸素レベル、轉生虫類、イトミミズ等の汚濁性指標生物、し尿臭、下水臭などが大きく寄与するカテゴリーである。図-1にあげた要因のなかでは、理化学的水質レベル、指標生物種の存在による寄与が大きい指標である。図-3から生物種をアイテムとして含んだ場合には、サンプル数量と生物学的水質階級の相関係数は非常に高くなる。しかし指標工においてもその各水質階級内の分散は大きいが、ほぼ水質階級に対応付けられており、指標工～IVは、構成要因が異なるにもかかわらず、汚濁度という観点からも関連のあるものと解釈され、図-1に示した要因間の相互関連、影響度は大きいと考えられる。この点についても、以下の節で検討を加える。

### 3-3 生物学的調査結果の分析

指標工、IVの構造を検討した結果、Zoogloea sp. および鞭毛虫類、全毛虫類などの原生動物、イトミミズなどの存在は、指標の汚濁方向への寄与が大きく、トビケラ、カゲロウ等の水生昆虫類は指標構成の中で清浄方向への寄与が大きい。ここでは、細菌類、菌類、原生動物、線虫類を微生物、藍藻類、珪藻類、緑藻類から成る藻類および、水生昆虫類、甲殻類、ヒル類、貝類、蠕形動物を肉眼生物と類型分割し、それぞれに数量化Ⅲ類を適用した。結果を表-4に示す。さらに関連する理化学指標および物理状況との関連を検討するために、微生物と肉眼生物について数量化理論Ⅲ類を適用した。二つの外的基準は、数量化理論Ⅲ類結果におけるサンプル数量であり、アイテムは、理化学指標、流況、底質である。各アイテムのカテゴリー数量のレンジを図-4に示す。

微生物については、汚濁度を示す軸においてここであげたすべての生物種の存在が汚濁方向に寄与する。そのためにOSにおける標準偏差は小さい。藻類については、指標工、Ⅱの構成においてOscillatoria sp.が汚濁性Diatom sp.が非汚濁性を比較的示す種としてあげられたが、ここで分析では、明確に汚濁と関連する事由はみいだせていらない。このことより分析の性格に存在すると反応するサンプル数が不規則に大きい生物種は選択しにくいことにより、表-1に示すようなアイテム構成を行ったために、汚濁性を異にする生物種を同一のアイテムで扱ったこと、2)汚濁適応種であるにもかかわらず、ここでサンプルできる存在する地点の少ない種があり、二つどちらか手法に起因する理由が考えられる。また、ある藻類種出現の条件

は水温日照条件、流況、底質、その地点の生物構成、含有微量元素の種類など、非常に複雑であることも汚濁の軸を抽出できない理由であろう。しかし前節での分析では、藻類以外の生物種の感覚尺度から汚濁度を示す軸が決り、その軸上で類似のカテゴリーが求められるので、汚濁性種、非汚濁性種をあげることができた。

肉眼生物については汚濁度と関連する軸を見いだし得る。二つで選んだ生物種は水生昆虫類が多いために、それぞれの種が様々なカテゴリー数量をもつたのに対照水性域でのサンプル数量の分散が大きくなる。

次に、図-4から微生物については、BOD、COD、SSなど有機性汚濁指標、それと関連の大きい指標にあり、数量化理論Ⅲ類を求められたサンプル数量が説明されている。肉眼生物では、全硬度、電気伝導度との関連が大きいと同時に流況による影響が大きいことがわかる。これは、肉眼生物相が流況に支配される部分の大きいことを示すものと注目される結果である。底質については、レキの有無が比較的大きく影響している。重回帰分析における微生物についてはかなり高く、微生物相と有機性汚濁の程度の関連性が強いものと理解できる。生物種別に分析を行った結果、それぞれの類形が説明力ともつ水質階級が明らかになると同時に関連の強い理化学指標

表4. 生物類別の数量化理論Ⅲ類結果

生物	汚濁度方向にかかる 数量化大さのもの	清浄方向	生物階級の統計量		生物階級系数
			平均	標準偏差	
微生物	鞭毛虫類、全毛虫類	比類的汚濁方向への 寄与の少い、大きい	0.5 - 2.05 3-m - 1.0 d-m 0.45 P 4.56	0.57 0.50 2.33 3.49	0.778
藻類	Cylindrospermum contortum Gymnodinium sp.	Stigeoclonium sp. Vaucheria sp.	0.5 - 0.36 d-m ~ 0.06 d-m + 0.18 P 0.44	1.9 1.7 1.5 1.2	0.177
肉眼生物	イトミミズ、ヒレ	1)ブリオカクテビケラ オオモガラカクテ Botrytis sp. Ephemera sp.	0.5 - 1.46 3-m 0.29 d-m 0.17 P 1.0	1.9 0.8 0.24 0.16	0.677

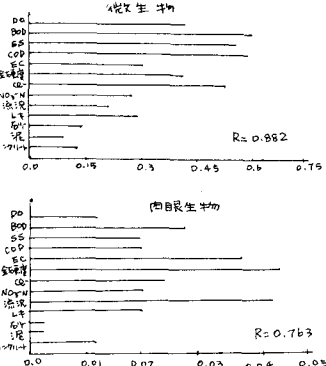


図-4 各項目のカテゴリー数量レンジ

物理的要因をあげることができた。

### 3-4 汚濁度指標の関連要因による分析

総合汚濁度指標工、II、IIIを外的基準とする数量化理論工類の分析結果として、各アイテムのカテゴリーカテゴリー数量のレジニを表一七に示す。

Iは理化学指標を説明変数とした場合の重相関係数が0.941、決定係数は0.840であり、指標工の変動の84%がここであげた理化学指標で説明される。一方、生物種を説明変数群とした分析では、決定係数0.560である。このことは感覚尺度と周辺物理状況で構成される指標工が、理化学指標、特に有機性汚濁指標との関連性が強いことを示すものである。

一方、生物種の有無を内部構造に含む指標II、IIIについては、全硬度、電気伝導度、流況のカテゴリーカテゴリー数量レジニが大きく、肉眼生物の分析と同様の傾向を示す。このことは、主に生物種整然のさい、水生昆虫類が多く含まれていることに起因している。

図一七、八に指標工、II、IIIを外的基準とした数量化理論工類分析結果におけるBODと全硬度の各カテゴリーカテゴリー数量のヒストグラム、および指標工、II、IIIのBOD、全硬度ランク毎の分布を示す。これらの図から指標工は、

800ランクが4から6になるとときに、急激に減少している。従って、BOD 5mg/lから

10mg/lにかけて有機汚濁指標単位当たりの指標工に対する寄与の大きいことがわかる。このことは、指標工の構成において寄与の大きい下水臭、し尿臭と有機汚濁指標とが関連が深いためと解釈される。

指標IIおよびIIIにおいて全硬度の変化に対しては、全硬度の変化に対しては全硬度レベルとのどの領域においても変化率に大きな差はみられない。BODランク毎の分布から指標IIでは7ランクまでは、平均値が近く分散が大きいために明確な傾向が見えにくい。指標IIIでは、ほぼランク1～4のグループ、ランク5、6のグループ、ランクに分けられ、指標の値は漸次低下している。したがって、指標IIIのBOD変化に対する傾向は指標工とほぼ同様であり、飽和曲線的な挙動を示す。指標IIとIIIにおける差異は、指標IIIにおいて、有機汚濁と関連が深いと考えられる下水臭、し尿臭を含むために埋められたものとみられる。指標II、IIIではBODランクが4から6になるとときの変化率は大きく、二の間に生物相にも著しい差がみられるものと考えられる。

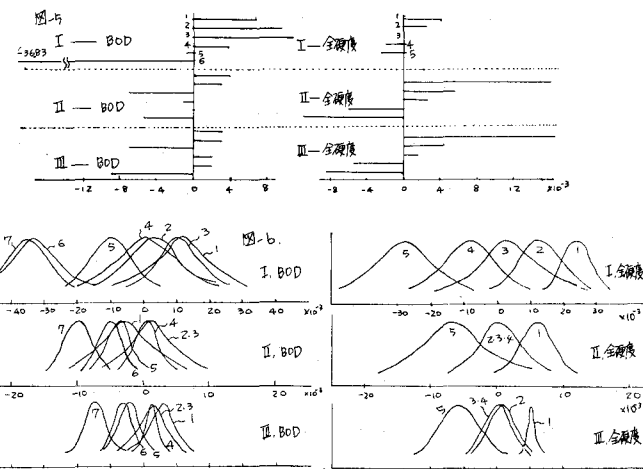
### 3-5 汚濁度指標間の相關分析

ここまで分析で総合汚濁度指標の内部構造、その変動に寄与する因子について把握することができた。ここでは、抽出した総合指標間の関係を把握するために、指標工～IVおよび、微生物、肉眼生物の数量化理論工類分析における汚濁と関連する軸上の各サンプルの数値間の相關分析を行った結果を表一六に示し、指標IVと指標工、II、IIIのプロット図を図一九に示す。

図一九およびこれまでの分析から、分析対象にしている要因間の関連の大きさ、またその関連に寄与している個々の項目についてまとめたのが図一八である。

表一七

指標	アイテム	指標間関数 決定係数	理化学指標								周辺物理指標				
			BOD	SO <sub>4</sub>	Si	COD	E.C.	全硬度	C <sub>O</sub>	NH <sub>3</sub> -N	流況	レシ	石け	泥	生物
I	理化学指標 水質	0.913 0.840	1.913 0.682	4.784 0.616	4.28 0.511	26.64 0.763	2.453 0.564	645 0.556	18.07 0.503	14.09 0.342					
	物理的 構成物 環境状況	0.870 0.756	1.137 0.504	1.227 0.562	1.715 0.640	1.573 0.576	2.178 0.390	2.668 0.446	1.711 0.449	1.072 0.319	1.926 1.217	2.49 1.69	87 125	11.9 27.5	
II	同上	0.858 0.736	6.93 0.434	11.18 0.499	13.68 0.533	12.86 0.533	1.943 0.533	2.514 0.538	13.17 0.538	1.061 0.538	2.049 1.640	1.200 1.69	1.69 1.25	2.75 1.25	
	生物種	0.748 0.560	2.148 2.461	Hydrobaetis sp. Zelandobius sp.	Zelandobius sp. Sphaerophorus sp.	2.170 2.113	1.749 1.749	1.640 1.640	1.640 1.640	1.640 1.640	1.640 1.640	1.640 1.640	1.640 1.640	1.640 1.640	



	I	II	III	IV	微生物	肉眼生物
I	1.000	0.556	0.601	0.822	0.534	0.323
II		1.000	0.660	0.780	0.801	0.831
III			1.000	0.854	0.867	0.734
IV				1.000	0.795	0.488
微生物					1.000	0.386
肉眼生物						1.000
表一六 相関係数						

図-7からすべての要因を総合化した指標IVと生物相から構成される指標II, IIIとを比較すると、清浄方向で直線回帰式ならずれる点がみられる。

これは指標II, IIIが非汚濁性の水生昆虫を多く含むというアイテム構成に起因すると考えられ

る。指標IIとIVを比較すると直線回帰式ならばらつきは、指標IVの「はずれの部分」にあってもみられるが、傾向はほぼ同様である。人間の感覚のみで得られた定性的データにより構成されてる指標IIは、全要因から得られた指標IVと同傾向にあることは注目すべき点である。

指標IIへIVの特性をまとめ、およびこれらの中部構成において寄与の大きな因子、数量化理論I類分析結果から得た関連の大きな因子という観点でモニター指標として有効な因子の整理を行ったのが表-7である。

#### 4. 総合汚濁度指標の河川制御への適用

##### 4-1 河川水質管理のための有効な指標の検討

前章において、総合汚濁度指標の作成を試み、これらの内部構造、相関性、モニター項目の整理等を行った。その結果統括的に4種の総合汚濁度指標が汚濁の程度という意味において相関性を有してい

ることが明らかとなつた。さらにこれら4指標のうち感覚尺度のみによる指標IIと全要因から構成した指標IVとの類似性が大きいこと、また指標IIとIIIがほぼ同じ傾向をもつことが知られた。

本章では得られた総合汚濁度指標をこれまでの結果とともに制御性のあるかという観点から検討を加え、さらに本報で構成した総合汚濁度指標に基づく河川汚濁制御への可能性について述べる。

環境評価を目的として有効な指標を作成するにあたり、二つが制御性を有する指標であるためには、次の条件が必要と考えられる。

- 1) 計測が容易であり、指標の内部構成が理解しやすいものであること。
- 2) 目的レベルに対し定量的な因果関係が把えやすいものであること。

前章で算出した指標について上記の観点で検討すると、IVのような形での総合化は、とくに1)の点で問題があるが、構成要因の選択のための分析という意味ならば有効と考えられる。

指標IIのように我々の感覚で得られる要因のみにて、2指標を構成することは、とくに親しみのある河川水質をあげるという立場からは理解しやすく、しかも指標IVと相関性が強いため、理化学指標との関連が大きいことは重要である。今後アンケート調査結果にもとづく分析に発展させることや徹底させることが可能であり、アイテム構成、カテゴリーパーティションの検討を十分に行い、生物指標、理化学指標を含めた水質因子との定量的関連を把えられれば、制御指標として有効となる。

また生物相を構成要因とする指標IIは、理化学指標との関連が、全硬度、電気伝導度等の零イオン性指標との関連で説明され、また指標IIとの相関はあまりみられない。このことは、指標IIが河川汚濁度指標IIやIVとは別の面から表現するものと理解される。したがって選択(大型植物、魚類の導入など)により感覚尺度との関連の強い指標作成を行うことも検討される価値があると思われる。

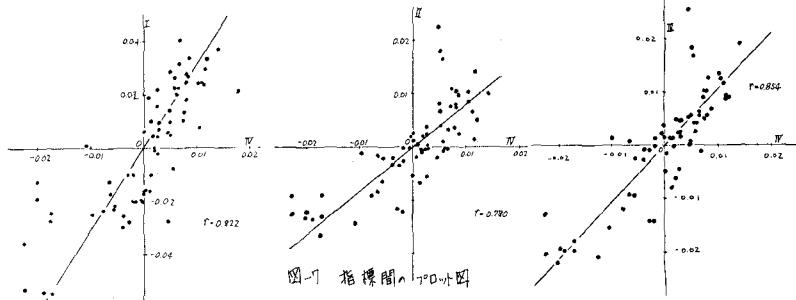


図-7 指標間のTDO-IV図

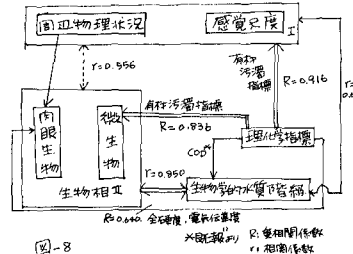


図-8

表-7

指標	内部構造	モニター指標	有効汚濁指標との関連	その他
II	重金属(シルバー, リチウム, 鉛, セシウム)	BOD COD-Mn	非汚濁域・汚濁域を 混在する域の各指標	指標 IVとの相関性
III	水生昆虫(原生動物) Ecoogaea, 小ミズク	全硬度, 電気伝導度	1~6ランクでは重なる が、7ランクで変化	流況との関連性
IV	水生昆虫(原生動物) 小ミズク	全硬度, 電気伝導度	IIと同(傾向)	"
	有機性汚濁指標, 水生昆虫 重金属, 離生虫類, 金毛藻類 小ミズク	有機性汚濁指標	各ランクに数量より 指標IIと同傾向	—

指標Ⅲは指標Ⅰの傾向に近いが、有機性汚濁指標との関連においては工と同様の傾向も有する。したがって河川環境の異なる見方を統合したものと解釈しうるが、統一的な視点は待ちあわせていないと考えられる。

#### 4-2 河川汚濁制御と総合汚濁度指標の限界効用

河川環境の制御目的は、種々の利水目的(取水、維持水、余暇水等)との対比の中で設定されるものであるが、それらの空間的、時間的配置を考慮すれば、周辺あるいは後背の社会的条件にまで言及せざるを得ず、極めて複雑なものとなる本節では、先に試行錯誤的に求めた総合汚濁度指標と利水目的の結合をはなさために、利水目的を制約条件とした場合の河川汚濁制御への方向付けを試みる。ニニでは前述の指標工をとりあげそれにに対する制御変数として、汚濁度とのつながりが比較的把元やすいBODを対象として考察した。3-4で述べたように、指標工は、BOD 5mg/l以下とほぼ同一の値をとり、5~10mg/lの領域での変化率は大きくなる。したがって清浄な領域および汚濁のすくない領域の過渡領域でBODの変化に対する感度は大きいと言える。

こうして有機性汚濁指標に対する総合汚濁度指標の対応を明らかにしたうえで、水質汚濁度の限界効用を以下のように考える。(図-9) すなはち指標工とBODの関係を飽和曲線タイプとみなし

$$\frac{d^2}{dx^2} = d_0 z (z_{max} - z) \quad (1)$$

$$\frac{dc}{dx} = d_0' z^{-\beta} \quad (2)$$

$$\frac{d^2}{dc^2} = d_0 z (z_{max} - z) / d_0' z^{-\beta} \quad (3)$$

ここで  $d^2/dc^2$ : 総合汚濁度指標の限界効用,  $z$ : 総合汚濁度指標

$C$ : 環境整備費用,  $d_0, d_0', \beta, z_{max}$  は定数

$d^2/dc^2 \leq 0$  であれば 整備効果はあるが小さく,  $d^2/dc^2 > 0$  であれば 整備効果有ると判断し得る。指標工を汚濁度を表示する尺度とすれば、BODレベルを 10mg/l から 5mg/l となるように環境整備費用をかける場合に、限界効用は高くなると考えられる。

#### 5. おわりに

河川環境を構成する要因のなかからいかつか選択しために有機的に結合させる方向で総合汚濁度指標の作成を試み、これを河川汚濁制御に結びつける方向付けを提示した。得られた結果を総括すると

- 1) 本報で算出した4種の総合汚濁度指標は、その構成を異にするにもかからず、汚濁度という尺度ならば、高い相関性を示した。このことは、河川環境を構成する要因間に強い関連性のあるためと解釈される。また有機汚濁指標の変動に対し、指標工、Ⅱは飽和曲線型の挙動を示すことがわかった。
- 2) 総合汚濁度指標の内部構造、関連要因による構造分析、汚濁度指標間の相関性の検討なら、図-8に示すように河川環境を構成する要因間の関連の大きさ、およびその関連に寄与している項目について明らかにした。
- 3) 数量化理論を適用することにより、感覚尺度、周辺物理状況、指標生物種の有無等の定性的特性間の関連ならびに理化学指標との対応について定量的に把握することができた。これは既報において行った主観的数値を元にしたことと比較すると、各カテゴリ間の近似性についても把えうることが可能になれた。
- 4) 生物データの扱いについても、量化理論Ⅲ群における汚濁を示す軸上において、ほぼ汚濁性種、非汚濁性種の分類が可能であった。このことは今後生物学的調査結果の数量化においてひとつの方向を示すものと考えられる。

以上はひとつのデータ群の中から行った分析であり、今後は他流域に適用するなど十分な検証を必要としていることは、言うまでもないが、手法に関するアライメント構成力カテゴリ分割などについて検討の余地が残されていて、まだ4で提示した方向については、ケース・スタディを行なうこと、当面の課題である。最後に本報作成にあたり有益な助言をいただいた本社加藤善蔵、白鶴良一、山地弘の各位に謝意を表すものであります。

参考文献 (1) 高橋他; 河川における水質評価として生物学的指標と理化学指標の関連性について (土壤学会第31回年講) (2) 高橋他; 河川における水質環境評価に関する研究 (第3回地生工学研究討論会) (3) X県水質汚染系統調査報告書 (昭和41年) (4) 津田; 汚水生物学 (北陸食官、1964) など

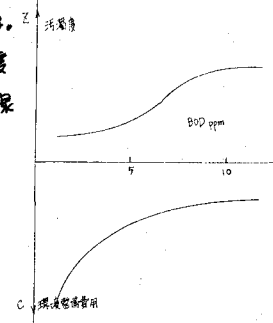


図-9